

## بررسی آزمایشگاهی اثر طوقه در کنترل آبشنستگی اطراف پایه پل استوانه‌ای در قوس ۱۸۰ درجه رودخانه

علیرضا مسجدی<sup>۱\*</sup> و مهدی غلامزاده محمودی<sup>۲</sup>

(تاریخ دریافت: ۱۳۸۸/۵/۲۷؛ تاریخ پذیرش: ۱۳۸۹/۸/۱۰)

### چکیده

هر ساله با وقوع سیلاب در هر رودخانه تعداد زیادی از پل‌ها درست زمانی که بیشترین نیاز به آنها وجود دارد، تخریب می‌شوند. یکی از مؤثرترین عوامل این تخریب‌ها آبشنستگی موضعی اطراف پایه‌ها در قوس رودخانه می‌باشد. یکی از روش‌های کاهش آبشنستگی اطراف پایه‌های پل، نصب طوقه محافظ روی پایه است. طوقه‌ها بستر را در مقابل جریان‌های گردابی اطراف پایه محافظت می‌کنند. به منظور بررسی اثر طوقه در کنترل آبشنستگی اطراف پایه پل در قوس رودخانه‌ها، آزمایش‌هایی در یک فلوم آزمایشگاهی با قوس ۱۸۰ درجه و شعاع مرکزی  $2/8$  متر و عرض  $6/0$  متر با از جنس پلاکسی گلاس انجام پذیرفت. در این تحقیق با قرار دادن یک پایه استوانه‌ای به همراه چهار طوقه دایره‌ای با اندازه‌های مختلف در یک موقعیت از قوس با دبی و عمق ثابت، پدیده آبشنستگی حول پایه‌ها در حالت آب زلال بررسی شد. محل نصب طوقه در آزمایش‌ها در  $4$  ارتفاع متفاوت انتخاب شد. برای مصالح کف فلوم از ماسه طبیعی با دانه‌بندی یکنواخت با قطر  $D=50mm$  و ضربیت  $1/3$  استفاده شد. نتایج این تحقیق نشان داد با افزایش قطر طوقه میزان آبشنستگی موضعی در اطراف پایه به طور قابل ملاحظه‌ای کاهش می‌یابد به طوری که حداقل میزان آبشنستگی در هنگام نصب یک طوقه با قطر مؤثر سه برابر قطر پایه روی یک پایه استوانه‌ای در  $D=1/0$  زیر بستر  $93$  درصد نسبت به حالت بدون طوقه ایجاد شد.

واژه‌های کلیدی: آبشنستگی موضعی، جریان‌های گردابی، قوس ۱۸۰ درجه، طوقه دایره‌ای

۱. استادیار مهندسی آب، دانشگاه آزاد اسلامی واحد اهواز

۲. دانشجوی کارشناسی سازه‌های آبی، دانشگاه آزاد اسلامی واحد علوم و تحقیقات خوزستان

\*: مسئول مکاتبات، پست الکترونیکی: [drmasjedi2007@yahoo.com](mailto:drmasjedi2007@yahoo.com)

## مقدمه

اسبی آن قدر ادامه می‌یابد تا حجم آب درون حفره آبستتگی زیاد شده و انرژی گرداب را مستهلك کند. در این حالت عمق آبستتگی به حالت تعادل می‌رسد(۱۲). شکل ۱ نمونه‌ای از جریان آشفته و گرداب‌هایی را که باعث آبستتگی موضعی و حفره می‌شوند را نشان می‌دهد.

با توجه به مطالعات انجام شده نصب طوفه روی پایه باعث کاهش عمق آبستتگی می‌شود. با نصب طوفه در اطراف پایه، جریان رو به پایین در حین برخورد به طوفه از بستر منحرف شده و باعث کاهش آبستتگی می‌شود(۵). اتما در سال ۱۹۸۰ گزارش داد نصب یک طوفه با قطر مؤثر دو برابر قطر پایه روی یک پایه استوانه‌ای در سطح بستر در کانال مستقیم باعث کاهش آبستتگی موضعی می‌شود(۶). کومار و همکاران در سال ۱۹۹۹ برای کاهش عمق آبستتگی از پنج اندازه مختلف طوفه با قطر ۱/۵، ۲، ۲/۵، ۳، ۴ برابر قطر پایه در اطراف پایه استوانه‌ای استفاده کرده و مشاهده کردند که طوفه‌های کوچک باعث به وجود آمدن چاله‌های بزرگ در وجه بالادست پایه استوانه‌ای استفاده کرده و مشاهده کردند که طوفه‌های کوچک باعث به وجود آمدن چاله‌های بزرگ در وجه بالادست پایه استوانه‌ای استفاده از تحلیل نتایج حاصل از آزمایش‌ها، معادله زیر را برای تعیین ماکریم عمق آبستتگی در اطراف پایه استوانه‌ای شکل که توسط طوفه محافظت شده، ارائه دادند.

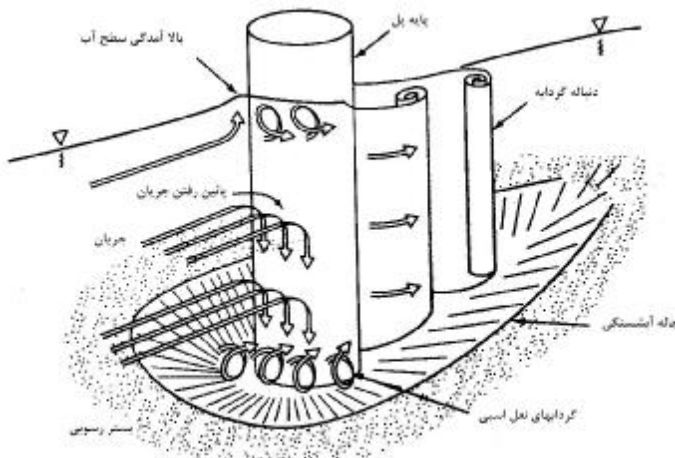
$$\left( \frac{ds_p - ds_c}{ds_p} \right) = 0.057 \left( \frac{B}{b} \right)^{1/12} \left( \frac{H}{Y} \right)^{1/827} \quad [1]$$

در این معادله عمق تعادل آبستتگی بدون طوفه، عمق تعادل آبستتگی با طوفه، قطر طوفه، قطر پایه، ارتفاع طوفه نسبت به سطح آزاد آب و عمق جریان می‌باشد(۷).

سینگ و همکاران در سال ۲۰۰۱ عملکرد طوفه‌ها را در کاهش آبستتگی مورد مطالعه قرار دادند(۱۶). نتایج آزمایش‌ها نشان داد که چنانچه فاصله بین تراز بستر و تراز نصب طوفه افزایش یابد، ماکریم عمق آبستتگی افزایش می‌یابد. بهترین محل نصب طوفه در آزمایش‌ها برابر  $D=10\%$  (قطر پایه) زیر سطح بستر بود که در این حالت طوفه به قطر دو برابر قطر پایه مقدار

پل‌ها عموماً روی رودخانه‌ها احداث می‌شوند. ولی اغلب رودخانه‌ها دارای مسیر پرپیچ و خم و به اصطلاح مثاندری هستند. اصولاً پل‌ها در بازه‌ای از رودخانه احداث می‌شوند که رودخانه پایدارتر باشد. در این مسیر، ممکن است به علت محدودیت‌های احداث راه و یا عدم پایداری رودخانه در بازه‌های مستقیم، نظر بر احداث پل در قوس رودخانه صادر شود. وقوع آبستتگی در اطراف پایه‌های پل یکی از عمدۀ ترین دلایل تخریب پل‌هاست. بنابراین حفاظت از پل‌ها در برابر آبستتگی ضروری است. پس از برخورد جریان به دماغه پل، روی پایه با توجه به این که سرعت جریان از بستر رودخانه به طرف سطح آب بیشتر می‌شود، فشار بیشتری نیز در ترازهای بالاتر روی پایه ایجاد می‌شود و به این ترتیب گردایان فشاری روی پایه از بالا به پایین در جلو پایه می‌شود. جریان رو به پایین همانند یک جت عمودی عمل کرده و پس از برخورد به بستر رودخانه ضمن حفر بستر به هر طرف پراکنده می‌شود(۱۴). مقداری از این جریان که به سمت بالا بازگشت می‌کند، در برخورد به جریان عمومی رودخانه، مجبور به حرکت در جهت جریان شده و مجدداً به پایه برخورد می‌کند. این چرخش جریان و بازگشت آن در داخل حفره کنده شده، گردابی تشکیل می‌دهد که به تدریج در دو طرف پایه، امتداد یافته و شکل شبیه نعل اسب پدید می‌آورد که به آن گرداب نعل اسبی می‌گویند. تشکیل گرداب نعل اسبی در داخل حفره آبستتگی، باعث تسريع در حفر آن شده و ذرات جدا شده از بستر، توسط جریان اصلی رودخانه به پایین دست حمل می‌شوند(۳).

در اثر جدایی جریان در کناره‌های پایه نیز گرداب‌هایی تشکیل می‌شوند که محور آنها عمود بر بستر رودخانه است و به آنها گرداب برخاستگی می‌گویند. این گرداب‌ها همانند گردباد ذرات بستر را جدا کرده و در معرض جریان قرار می‌دهند و به انتقال ذرات از جلو و اطراف پایه به سمت پایین دست کمک می‌کنند. حفر گودال آبستتگی توسط گرداب نعل



شکل ۱. الگوی جریان و حفره آبشنستگی موضعی اطراف یک پایه پل استوانه‌ای

شکل پایه و خواص سیال قرار دارد (۱۳ و ۱۵). اصولاً پل‌ها در بازه‌ای از رودخانه احداث می‌شوند که رودخانه پایدارتر باشد. در این مسیر، ممکن است به علت محدودیت‌های احداث راه و یا عدم پایداری رودخانه در بازه‌های مستقیم، اقدام به احداث پل در قوس رودخانه شود. با توجه به مطالعات انجام گرفته توسط صفرزاده در خصوص الگوی جریان در قوس ۱۸۰ درجه، بیشترین توزیع سرعت در زاویه ۶۰ درجه به دلیل قدرت بالای جریان‌های ثانویه ایجاد می‌شود (۱). لذا در این تحقیق بررسی تأثیر طوقه در کاهش آبشنستگی اطراف پایه پل در موقعیت ۶۰ درجه در قوس بررسی شد.

## مواد و روش‌ها

به منظور بررسی اثر طوقه در کاهش آبشنستگی اطراف پایه پل در قوس رودخانه، یک مدل آزمایشگاهی تهیه شد. آزمایش‌ها در یک فلوم از جنس پلاکسی گلاس قوسی شکل با زاویه مرکزی ۱۸۰ درجه، شعاع مرکزی  $2/8$  متر و عرض  $6/0$  متر انجام شد. انحنای نسبی قوس  $R/B = 4/7$  بوده که قوس را در رده قوس‌های ملایم قرار می‌دهد. بازه مستقیم ورودی کanal به طول  $9/1$  متر به یک کanal با قوس ۱۸۰ درجه متصل می‌شود.

آبشنستگی را ۹۱ درصد کاهش می‌دهد. همچنین طوقه‌هایی با قطرهای  $1/5$ ،  $2$  و  $2/5$  برابر قطر پایه روی بستر کanal قرار گیرند به میزان  $55\%$  و  $68\%$  نسبت به پایه بدون محافظت کاهش آبشنستگی دیده می‌شود.

چیو تأثیر طوقه‌ای محافظت را در کاهش آبشنستگی پایه پل مورد آزمایش قرار داد و با استفاده از طوقه به اندازه دو برابر قطر پایه عمق آبشنستگی به میزان ۲۰ درصد کاهش یافت (۵). همچنین او اظهار داشت که طراحی و کاربرد صحیح طوقه می‌تواند جایگزین مناسبی برای سنگ چین در حل مشکلات آبشنستگی موضعی پایه‌های پل باشد. زراتی و همکاران نیز عملکرد طوقه‌های مستقل و پیوسته همراه با سنگ چین را در گروه پایه‌های پل بررسی کردند (۱۷). نتایج نشان داد که ترکیبی از یک طوقه پیوسته و سنگ چین منجر به کاهش عمق آبشنستگی به میزان  $50$  و  $60$  درصد به ترتیب در جلو و پشت پایه می‌شود. همچنین عملکرد طوقه‌های مستقل بر روی هر پایه بهتر از عملکرد یک طوقه پیوسته روی دو پایه بود.

بر اساس مطالعات انجام شده توسط برخی از محققین پدیده آبشنستگی در اطراف پایه تحت تأثیر عواملی از جمله هندسه مgra، دبی جریان، عمق جریان، قطر پایه، شتاب ثقل خصوصیات مصالح بستر، زاویه فرارگیری پایه نسبت به جریان،

به منظور تعیین زمان تعادل آزمایش‌ها، یک آزمایش طولانی به مدت ۲۴ ساعت روی پایه پل بدون طوقه در دبی ۳۲ لیتر بر ثانیه در موقعیت ۶۰ درجه انجام شد. با توجه به نمودار شکل ۴ مشاهده شد که در ۶ ساعت اول تقریباً ۹۸ درصد آبستنگی رخ می‌دهد. بنابراین در کلیه آزمایش‌ها، زمان تعادل ۶ ساعت در نظر گرفته شد (۱۱).

برای انجام آزمایش‌ها، ابتدا پایه استوانه‌ای برای شرایط‌های مختلف در موقعیت ۶۰ درجه مورد نظر نصب شد. سپس رسوبات کف، توسط ارابه تسطیح متحرک به طور یکسان در جهت طولی و عرضی در سراسر فلوم گسترانده شد. پیش از راهاندازی پمپ، دریچه انتهایی بسته و سپس آب زلال به آرامی به درون کanal هدایت شد تا از ایجاد ریپل و ناهمواری در سطح بستر جلوگیری شود. پس از بالا آمدن آب و اطمینان از مرطوب شدن رسوبات بعد از گذشت چند دقیقه، پمپ با دبی کمی راه اندازی و به آرامی توسط شیر فلکه اصلی روی لوله ورودی به حوضچه آرامش، دبی به میزان مورد نظر رسانده شد. سپس با تنظیم دقیق و همزمان شیرفلکه و دریچه پایین دست عمق جریان ۱۲ سانتی‌متر و دبی مورد نظر حاصل شد. پس از هر آزمایش، پمپ خاموش و دریچه انتهایی بسته شد تا آب موجود در کanal به آرامی زده‌گشی و تأثیری روی توپوگرافی بستر ایجاد نشود. پس از گذشت چند ساعت و تخلیه کامل آب از درون کanal، به وسیله عمق سنج با دقت میلی‌متر، توپوگرافی بستر در اطراف پایه در موقعیت‌ها و دبی‌های مختلف برداشت شد. به منظور اندازه‌گیری عمق آبستنگی در طول زمان، توسط دستگاه عمق‌سنج با دقت بالا، در بالادست طوقه در زمان‌های مختلف عمق آبستنگی اندازه‌گیری شد.

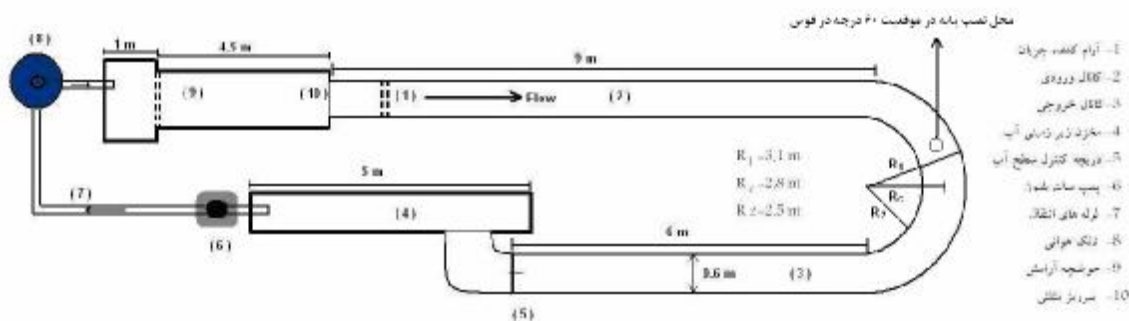
## نتایج و بحث

در کلیه آزمایش‌ها پس از تنظیم دبی و عمق جریان، بالا‌فصله در اطراف پایه گردابه‌ها تشکیل و آبستنگی با سرعت بسیار بالا آغاز شد. با شکل‌گیری حفره آبستنگی رسوب‌ها برخاسته از

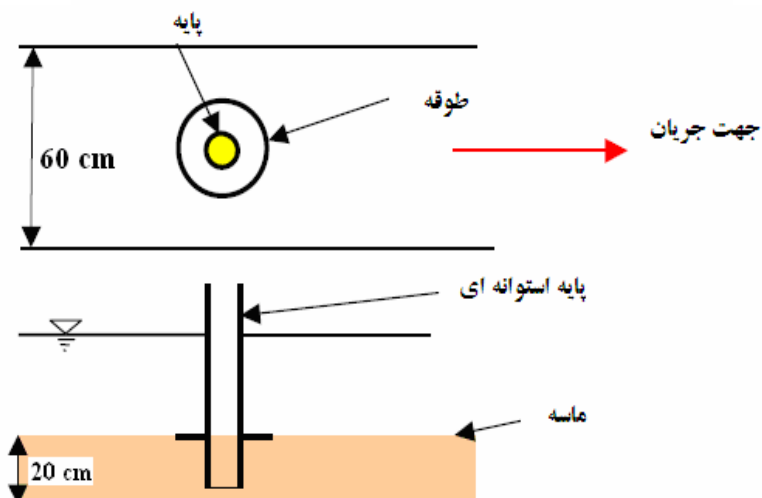
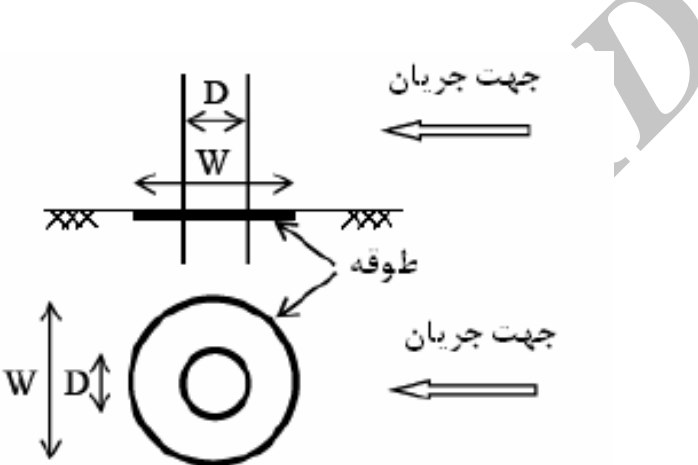
این کanal قوسی شکل توسط یک بازه مستقیم دیگری به طول ۵/۵ متر به دریچه کتل عملی جریان و سپس مخزن خروجی متصل می‌شود (شکل ۲).

در کلیه آزمایش‌ها برای از بین رفتن تأثیر دیواره‌های کanal بر آبستنگی موضعی، طبق توصیه‌های چیو و ملوبل قطر پایه نباید از ۱۰ درصد عرض کanal بیشتر باشد (۴). لذا برای مدل کردن پایه پل از لوله pvc به قطر ۶۰ میلی‌متر استفاده شد. برای انتخاب قطر طوقه‌ها بر اساس پیشنهاد سینگ و اتما از قطر ۱/۵ ، ۲ ، ۲/۵ و ۳ برابر قطر پایه استفاده شد (۶ و ۱۶). برای این منظور از ورق‌های پلکسی گلاس به ضخامت ۱ میلی‌متر با قطرهای ۱/۵ ، ۲ و ۲/۵ برابر قطر پایه و با قرارگیری در ارتفاعات روی سطح بستر،  $D_{0/5}$  و  $D_{0/5}$  (D = قطر پایه) زیر بستر استفاده شد (شکل ۳).

به توصیه رادکیوی و اتما برای جلوگیری از تشکیل ریپل قطر متوسط ذرات باید از ۰/۷ میلی‌متر بزرگ‌تر باشد (۱۳). هم‌چنین برای حذف اثر رسوبات روی عمق آبستنگی نسبت قطر پایه به متوسط ذرات باید کمتر از ۵۰ باشد (۴). در همین راستا رادکیوی و اتما این نسبت را ۲۵-۳۰ پیشنهاد کرده‌اند (۱۳). با توجه به این موارد یک لایه از ماسه طبیعی رودخانه‌ای با قطر متوسط معادل ۲ میلی‌متر و ضریب انحراف استاندارد معادل ۱/۳ انتخاب و در لایه‌ای به ضخامت تقریبی ۱۵ سانتی‌متر برای انجام آزمایش‌ها استفاده شد. طبق توصیه الیتو و هاگر برای جلوگیری از آثار زیری عمق آب را بیشتر از ۲۰ میلی‌متر پیشنهاد کرده‌اند که در کلیه آزمایش‌ها عمق آب ثابت و برابر ۲ سانتی‌متر در نظر گرفته شد (۱۲). با توجه به این که آبستنگی موضعی در شرایط آب زلال بررسی شد لذا به منظور جلوگیری از فرسایش و انتقال رسوبات در بالادست پایه، سرعت متوسط جریان باید کمتر از سرعت بحرانی باشد. در کلیه آزمایش‌ها نسبت سرعت برشی جریان به سرعت برشی بحرانی ۰/۹۳ بود. دبی مورد نیاز توسط سرریز مثبتی ۶۰ درجه در ابتدای ورودی فلوم اندازه‌گیری شد.



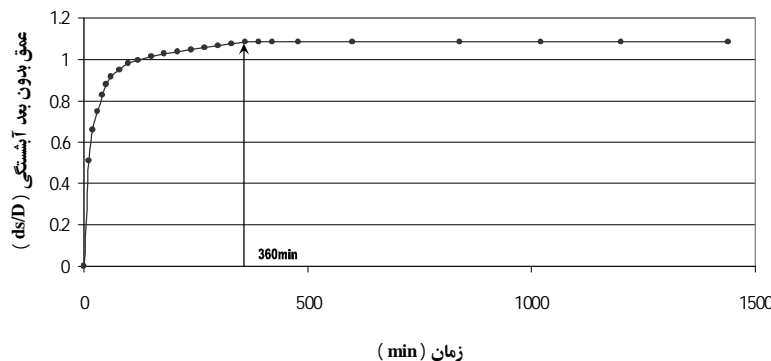
شکل ۲. پلان کanal قوسی شکل



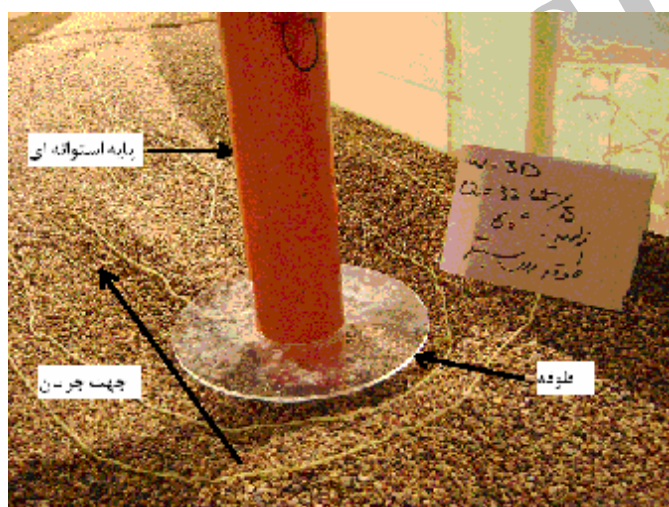
شکل ۳. پایه استوانه‌ای و طوقه دایره‌ای شکل در اطراف آن

(۹) = قطر طوقه و  $D =$  قطر پایه (۱۰)

منحنی توسعه زمانی آبشستگی



شکل ۴. زمان تعادل در موقعیت ۶۰ درجه و دبی ۳۲ لیتر بر ثانیه



شکل ۵. محل تشکیل آبشستگی و رسوب گذاری در اطراف پایه با طوقه

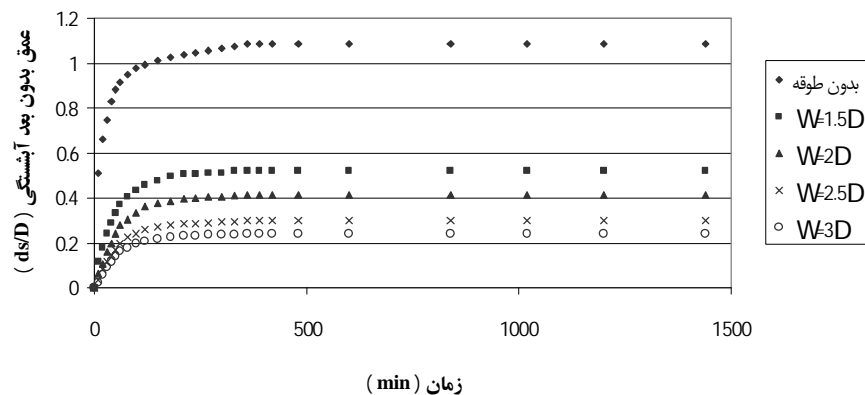
درجه در قوس برای دبی ۳۲ لیتر بر ثانیه نشان می‌دهد. همان‌گونه در شکل مشاهده می‌شود در کلیه ارتفاعها با افزایش قطر طوقه عملکرد آن در کاهش عمق آبشستگی بیشتر شده است. نتایج آزمایش‌ها نشان داد که در ارتفاع‌های مختلف، طوقه با اندازه ۳ برابر قطر پایه بیشترین تأثیر در کاهش عمق آبشستگی ایجاد شد. زمانی که طوقه روی پایه نصب می‌شود، گرداب‌های نعل اسیی رو به پایین در حین برخورد به طوقه از بستر منحرف شده و باعث کاهش عمق آبشستگی می‌شود (۵).

حفره به سمت پایین دست منتقل شدند. پس از مدتی از شروع آزمایش رسوبات انتقالی از حفره آبشستگی تحت تأثیر جریان ثانویه به سمت پایین دست منتقل شده و تعداد دو و یا بیشتر شیارهای کوچک در اطراف پایه تشکیل شد (شکل ۵).

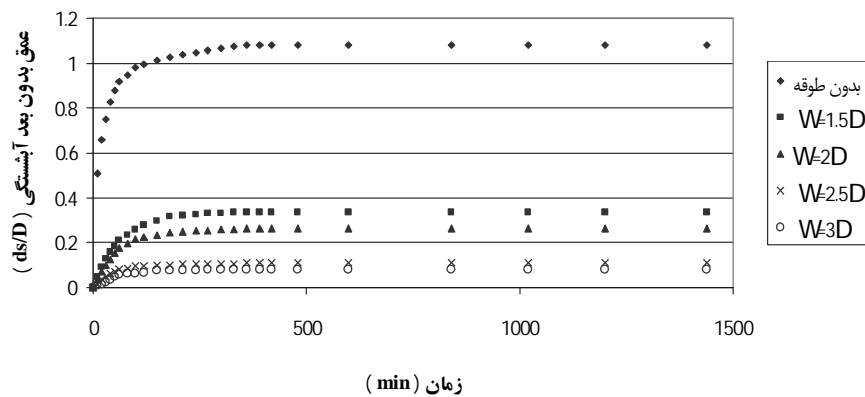
الف) تأثیر قطر طوقه در توسعه آبشستگی اطراف پایه استوانه‌ای

شکل ۶ تأثیر قطر طوقه در توسعه زمانی آبشستگی در چهار ارتفاع و مقایسه آن با حالت بدون طوقه را در موقعیت ۶۰

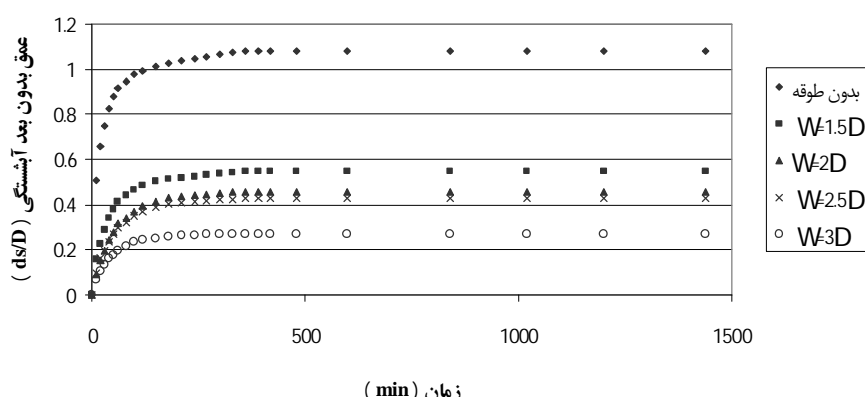
توسعه آبستینگی برای طوق با ابعاد متفاوت بر روی بستر



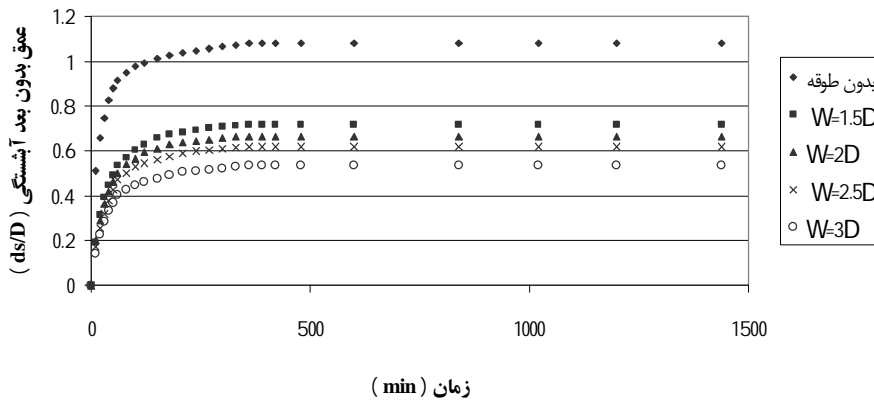
توسعه آبستینگی برای طوق با ابعاد متفاوت در ارتفاع  $0.1D$  زیر بستر



توسعه آبستینگی برای طوق با ابعاد متفاوت در ارتفاع  $0.5D$  زیر بستر



### توسعه آبستگی برای طوق با ابعاد متفاوت در ارتفاع $D_0/1$ زیر بستر



شکل ۶. تأثیر قطر طوقه در توسعه زمانی آبستگی در مقایسه با پایه بدون طوقه در ارتفاع‌های مختلف

از ای حالت‌های مختلف پایه بدون طوقه، پایه با طوقه به اندازه  $2/5$  برابر قطر پایه در حالت بدون بعد نشان داده شده است. نتایج حاصل از این نمودارها تطابق مناسب در حدود ۹۵ درصد این تحقیق با تحقیقات محققین دیگر را نشان می‌دهد. جدول ۱ درصد کاهش عمق آبستگی در اطراف پایه استوانه‌ای با طوقه دایره‌ای نسبت به حالت بدون طوقه را برای چهار ارتفاع قرارگیری طوقه و با چهار اندازه طوقه نشان داده است. نتایج نشان می‌دهد طوقه دایره‌ای در ارتفاع  $H=0.1D_0$  زیر بستر با اندازه  $W = 3D$ ، باعث کاهش  $93\%$  درصد آبستگی اطراف پایه می‌شود.

### نتیجه‌گیری

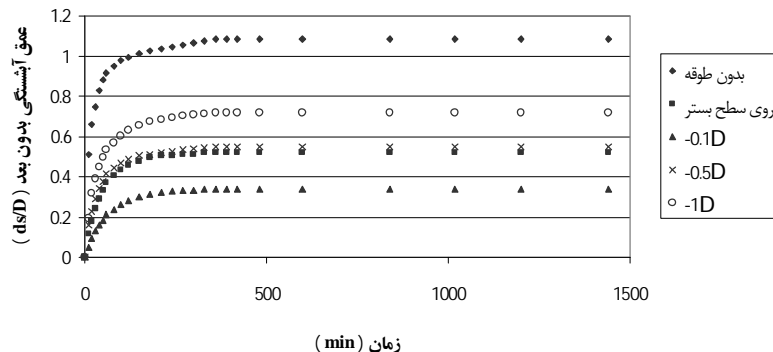
در این تحقیق آزمایش‌ها جهت تعیین توسعه زمانی آبستگی در پایه استوانه‌ای با طوقه دایره‌ای شکل مستقر در قوس  $180^\circ$  درجه با هدف بررسی تأثیر طوقه دایره‌ای شکل روی عمق آبستگی در اطراف پایه استوانه‌ای و مقایسه آن با حالت بدون طوقه انجام گرفت. متغیرهای مؤثر در این تحقیق ابعاد طوقه و ارتفاع نصب طوقه نسبت به تراز بستر بود. نتایج این تحقیق به صورت زیر بیان می‌شود:

### (ب) تأثیر ارتفاع نصب طوقه نسبت به تراز بستر در توسعه آبستگی

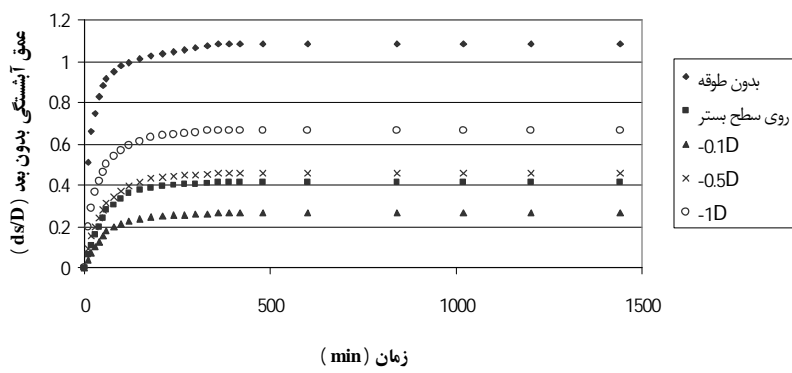
شکل ۷ تأثیر ارتفاع نصب طوقه در توسعه زمانی آبستگی در چهار قطر طوقه و مقایسه آن با حالت بدون طوقه را نشان می‌دهد. نتایج نشان داد در قطرهای مختلف طوقه، نصب طوقه در ارتفاع  $D_0/1$  زیر بستر، نسبت به موقعیت روی بستر کمترین عمق آبستگی ایجاد شد. زیرا برای طوقه نصب شده در روی سطح بستر، در همان لحظات اولیه آزمایش، با فعالیت گرداب‌های نعل اسپی در جلو و زیر پایه، آبستگی شروع شده و به سرعت توسعه می‌یابد. همچنین نصب طوقه با قطرهای مختلف در ارتفاع  $D_0/5$  و  $D_0/1$  زیر بستر مقدار عمق آبستگی در مقایسه با ارتفاع  $D_0/1$  زیر بستر، عمق آبستگی افزایش یافته است که دلیل آن انتقال بار رسوب بر روی طوقه و نفوذ جریان‌های گردابی به زیر طوقه است. نتایج حاصل از این تحقیق با نتایج محققین دیگر نظری آلبی (۲)، اتما (۶)، مشاهیر و همکاران (۹) و ملویل و رادکیوی (۱۰) در مورد کاربرد طوقه دایره‌ای در اطراف پایه استوانه‌ای در مسیر مستقیم مقایسه شد.

در شکل ۸ مقایسه نتایج تحقیق حاضر با نتایج محققین به

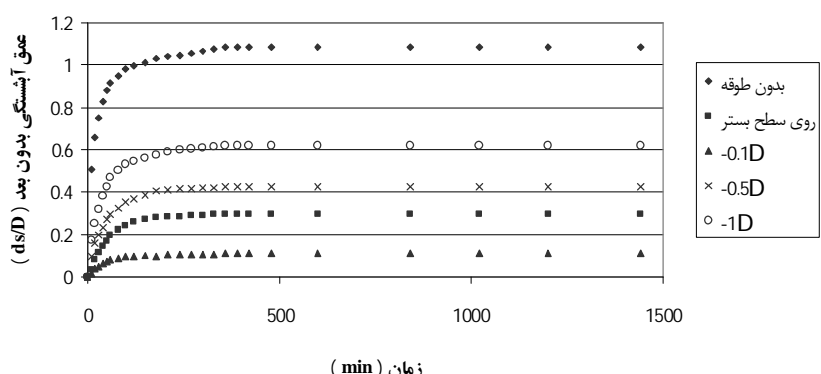
توسعه آبستینگی با طوق  $W=1.5D$



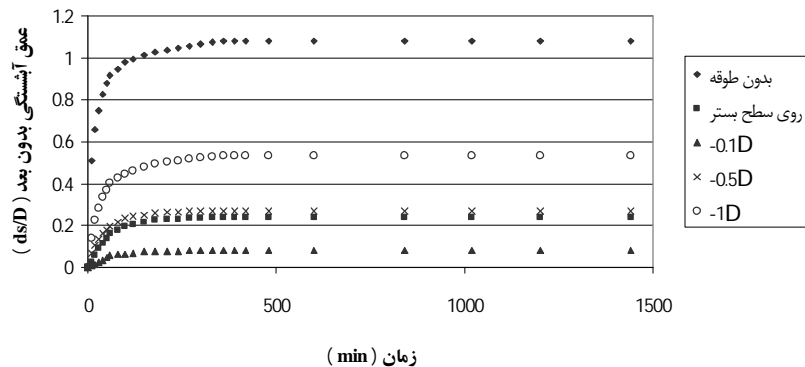
توسعه آبستینگی با طوق  $W=2D$



توسعه آبستینگی با طوق  $W=2.5D$

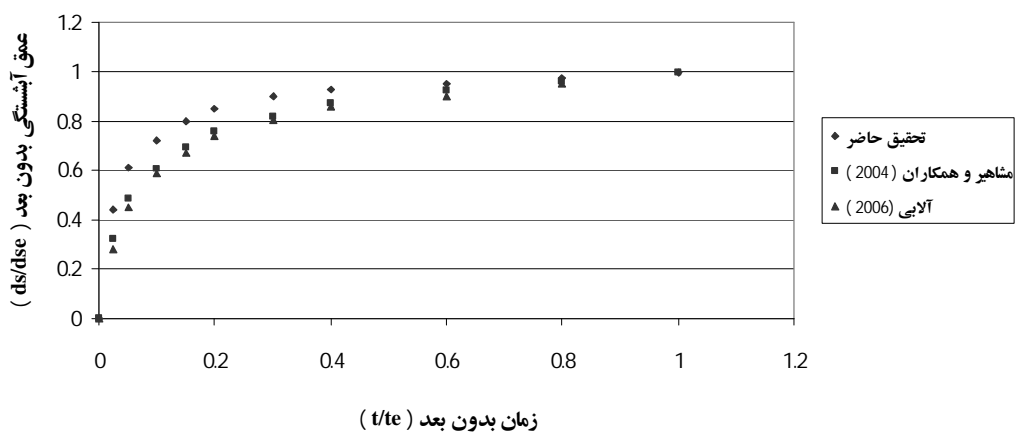


توسعه آبشنگی با طوق W=3D

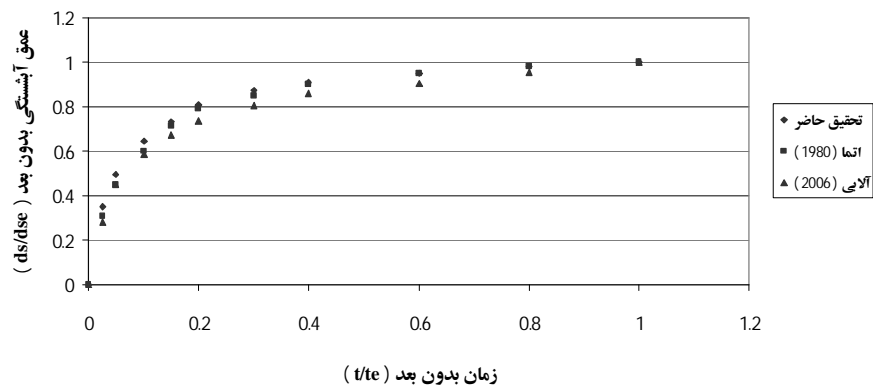


شکل ۷. تأثیر ارتفاع نصب طوقه نسبت به تراز بستر در مقایسه با پایه بدون طوقه در قطرهای مختلف روی آبشنگی

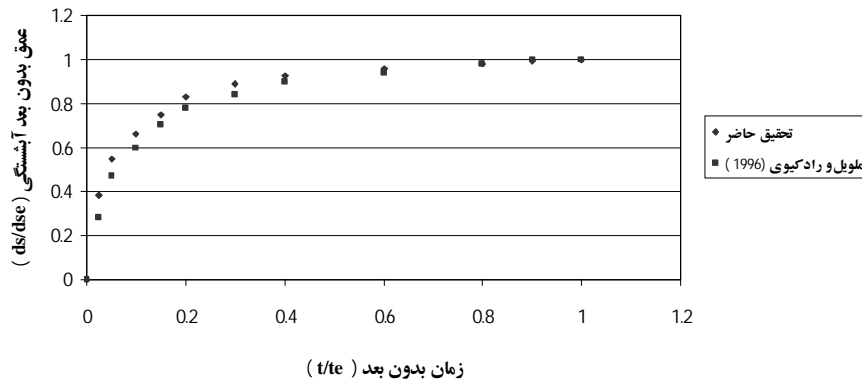
وسعه آبشنگی پایه بدون طوق



وسعه آبشنگی با طوق W=2D



توسعه آبشنستگی با طوق  $W=2.5D$



شکل ۸. مقایسه نتایج تحقیق حاضر با نتایج محققین دیگر

جدول ۱. درصد کاهش در عمق آبشنستگی نسبت به بدون طوقه

ارتفاع اندازه قطر طوقه	روی بستر	$H/D=0/1$	$H/D=0/5$	$H/D=1/0$
$W/D=1/5$	۵۲	۶۹	۵۰	۳۴
$W/D=2/0$	۶۲	۷۶	۵۸	۳۹
$W/D=2/5$	۷۲	۸۳	۵۹	۴۳
$W/D=3/0$	۷۸	۹۳	۷۵	۵۰

نسبت به حالت بدون طوقه حدود ۹۳ درصد به دست آمد. به عبارت دیگر طوقه‌های دایره‌ای باعث پراکنده‌سازی و تضعیف عملکرد گرداب‌های ایجاد شده در اطراف پایه می‌شوند.

۱- با افزایش ابعاد طوقه دایره‌ای، آبشنستگی بیشینه کمتر شده و در طوقه نصب شده در ارتفاع  $1/0 D$  زیر بستر، کمترین عمق آبشنستگی نسبت به ارتفاع‌های دیگر ایجاد شد.

۲- حداقل عمق آبشنستگی در هنگام نصب یک طوقه با ابعاد مؤثر سه برابر قطر پایه روی یک پایه استوانه‌ای در  $1/0 D$  زیر بستر ایجاد گردید.

۳- کاهش آبشنستگی در طوقه دایره‌ای شکل با ابعاد مؤثر سه برابر قطر پایه روی یک پایه استوانه‌ای در  $1/0 D$  زیر بستر

### سپاسگزاری

از مساعدت مسئولین محترم دانشگاه آزاد اسلامی واحد اهواز و علوم و تحقیقات خوزستان به منظور قرار دادن امکانات، تسهیلات و کمک‌های مالی در این تحقیق تشکر و قدردانی می‌شود.

### منابع مورد استفاده

- صفرزاده، گندشیمین، ۱۳۸۳. شبیه‌سازی الگوی جریان در آبگیری جانبی از قوس ۱۸۰ درجه. پایان‌نامه کارشناسی ارشد، دانشگاه تربیت مدرس، تهران.
- Alabi, P.D. 2006. Time development of local scour at bridge pier fitted with a collar. MSc. Thesis, University of

Saskatchewan, Canada.

3. Breusers, H.N.C., Nicollet, G. and Shen, H. W. 1977. Local scour around cylindrical piers. *J. Hydraul. Res.* 15(3): 211-252.
4. Chiew, Y.M. and B.W. Melville. 1987. Local scour around bridge Piers. *J. Hydraul. Res.* 25(1): 15-26.
5. Chiew, Y. M. 1992. Scour protection at bridge Piers. *JHE, ASCE*, 118(9): 260-1269.
6. Ettem, R. 1980. Scour at Bridge Piers. Report No.216, University of Aucland, School of Engineering, New Zealand.
7. Kumar, V., K.G. Ranga Raju and N. Vittal. 1999. Reduction of local scour around bridge piers using slots and collars. *J. Hydraul. Eng. ASCE*, 125(12): 1302-1305.
8. Lagasse, P.F., L.W., Zevenbergen, J.D. Schall and P.E. Clopper. 2001. Bridge scour and stream instability countermeasures: Experience, selection, and design guidelines. FHWA NHI 01-003: Federal Highway Administration, Hydraulic Engineering Circular No. 23, 2<sup>nd</sup> ed., U.S. Department of Transportation, Washington, D.C.
9. Mashair, M.B., A.R. Zarrati and A.R. Rezayi. 2004. Time development of scouring around a bridge pier protected by collar. 2<sup>nd</sup> International Conference on Scour and Erosion, ICSE-2, Singapore, 8 p.
10. Melville, B.W. and A.J. Raudkivi. 1996. Effect of foundation geometry on bridge pier scour. *J. Hydraul. Eng. ASCE*, 114(10): 203-209.
11. Melville, B.W. and Y.M. Chiew. 1999. Time Scale for local scour depth at bridge piers. *J. Hydraul. Eng. ASCE*, 125(1): 59-65.
12. Oliveto, G. and W.H. Hager. 2002. Temporal evolution of clear-water pier and abutment scour. *J. Hydraul. Eng. ASCE*, 128(9): 811-820.
13. Raudkivi, A.J. and R. Ettema. 1983. Clear-Water Scour at Cylindrical Piers. *J. Hydraul. Eng. ASCE*, 109(3).
14. Raudkivi, A.J. 1998. Loose Boundary Hydraulics. 4<sup>th</sup> ed., Rotterdam, Brookfield, Balkema.
15. Richardson, E.V. and S.R. Davies. 1995. Evaluating scour at bridges. Rep. No FHWAIP- 90-017 (HEC 18), Federal Administration, U.S. Department of Transportation, Washington, D.C.
16. Singh, C.P., B. Setia and D.V.S. Verma. 2001. Collar-sleeve combination as a scour protection device around a circular pier. Proceedings of Theme D, 29<sup>th</sup> Congress on Hydraulics of Rivers, Water Works and Machinery, Chinese Hydraulic Engineering Society, Beijing, China. 16-21.
17. Zarrati, A.R., M. Nazariah and M. B. Mashahir. 2006. Reduction of local scour in the vicinity of bridge pier groups using collars and riprap. *J. Hydraul. Eng. ASCE*, 132(2): 154-162.